

УДК 536.22:697.932.3

Гидродинамика и тепломассообмен в форсуночных камерах орошения

М.И. Шияев, Е.М. Хромова, А.В. Григорьев, А.В. Тумашова

Томский государственный архитектурно-строительный университет

E-mail: shmi@mail.tomsknet.ru

На основе представлений о взаимопроникающих разнородных и разнотемпературных континуальных средах сформулирована двумерная физико-математическая модель движения и тепломассообмена парогазовой смеси с каплями жидкости переменной массы в оросительных форсуночных камерах при высоких влагосодержаниях, а также проведен анализ этой модели.

Ключевые слова: капли жидкости, тепло- и массообмен, влагосодержание, парогазовый поток, оросительные форсуночные камеры.

В работе [1] представлена одномерная физико-математическая модель тепломассообмена парогазового потока с каплями жидкости в оросительных форсуночных камерах. В модели учтено влияние повышенной концентрации паров жидкости на тепломассообменные процессы с помощью поправки Стефана. Параметры парогазового потока: температура, парциальные плотности пара и газа, входящие в уравнения сохранения по теплу и массе — отображают фазовые переходы испарение–конденсация на поверхности капель. Переменность массы капель жидкости учитывается в уравнении движения. Вязкость и теплопроводность парогазового потока определялись с помощью парциального давления пара и газа. Уравнения движения капель жидкости представлены в лагранжевой системе координат. Одномерная постановка задачи неудобна для анализа процессов, происходящих в горизонтальных камерах, когда значительная часть капель под действием силы тяжести может выпадать из потока в поддон, не доходя до выхода из камеры. Поэтому в настоящей работе рассматривается двумерная постановка этой задачи в эйлеровых координатах в континуальном представлении компонентов системы парогазовая смесь–капли жидкости [2], при котором некоторая плотность капель (локальная массовая концентрация жидкости) будет меняться по всему пространству форсуночных камер в зависимости от динамики их движения и выпадения из потока под действием силы тяжести. Вязкость и теплопроводность парогазовой среды предложено вычислять на основе молекулярно-кинетической теории газов для бинарных смесей [3].

Цель настоящей работы заключалась в формулировании модели тепломассообмена капель жидкости в форсуночных камерах орошения различного назначения с парогазовым потоком при высоком влагосодержании, проверке работоспособности

и анализе модели по влиянию основных определяющих параметров на динамические и теплофизические характеристики компонентов потока. Такие устройства используются как камеры орошения в кондиционерах воздуха [4], в установках воздушного душирования местной приточной системы вентиляции [5] для тепло-влажностной обработки воздуха, в прямооточных, противоточных форсуночных скрубберах, предназначенных для конденсационного улавливания тонкодисперсной пыли [6], в которых возможна высокоэффективная очистка газов только при высоких влагосодержаниях, достигающих величин более 1 кг пара на 1 кг сухой части парогазовой смеси. Последнее обстоятельство оказывает определенное влияние на закономерности массообмена капель с парогазовым потоком, которое, как известно, можно учесть и которое учитывается в настоящей работе с помощью поправки на стефановский поток [6, 7]. При повышенном влагосодержании, высоких потоках массы между каплями и парогазовой смесью за счет процессов испарения и конденсации размеры капель жидкости могут сильно меняться, что необходимо принимать во внимание, и уравнения движения капель жидкости в форсуночных камерах орошения в общем случае надо рассматривать с учетом изменений размеров капель как уравнения движения тел с переменной массой. В большинстве работ по моделированию горения диспергированных твердых [8, 9] и жидких [10] топлив этот эффект не учитывается. В настоящей работе сделана попытка установить влияние переменной массы капель на параметры гетерогенного потока в целом.

Камеры орошения могут быть ориентированы к горизонту различным образом, за счет чего силы тяжести, действующие на капли, могут нарушать одномерность картины распределения их масс и, соответственно, всех теплофизических характеристик компонентов потока. Выяснение возможностей и пределов использования одномерной модели также является целью работы.

Известно, что капли, подаваемые в камеры орошения, имеют полидисперсный по их размерам, состав, однако, как правило, для расчетов пользуются некоторым средним размером например, среднемассовым, и этот размер определяется известными методами расчета форсунок различного типа — центробежных, пневматических [6]. Будем полагать, и небезосновательно, что является типичным приемом [12], что среднемассовый размер капель, определяемый по расчету форсунок, в среднем адекватно отражает всю картину течения и теплообмена в оросительной камере.

На входе в камеру, ориентированной к горизонту под произвольным углом β , будем задавать параметры парогазовой смеси капель равномерно распределенными по поперечному сечению (рис. 1). Входные параметры парогазового потока (см. рис. 1, *a*): T_{00} — абсолютная температура, U_0 — скорость, d_0 — влагосодержание, определяющееся как масса паров жидкости, приходящаяся на 1 кг сухой нереагирующей части парогазовой смеси; входные параметры диспергируемой жидкости (см. рис. 1, *b*): Θ_0 — абсолютная среднеобъемная температура капель, $V_{к0}$ — скорость капель, q — коэффициент орошения, равный отношению объемного расхода жидкости $Q_{ж}$ к объемному расходу парогазовой смеси $Q_{пг}$ ($q = Q_{ж}/Q_{пг}$). На рис. 1 показано направление движения парогазового потока вдоль оси камеры.

При формулировании модели для уравнения теплообмена капель жидкости с парогазовым потоком в конвективной составляющей баланса тепла температуру поверхности капель жидкости $\Theta_{п}$ примем равной ее среднеобъемной температуре Θ , что, как показано в работе [1], является допустимым до размера капель $\delta_{к} = 600\text{--}800$ мкм, генерируемых форсунками грубого распыла.

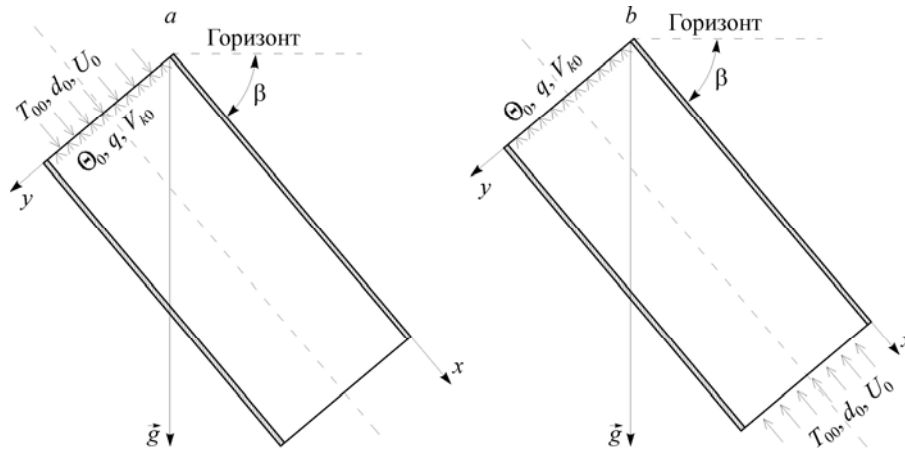


Рис. 1. Схемы оросительных камер при прямотоке (а) и противотоке (б).

В настоящей работе учтем влияние повышенной концентрации капель жидкости на эффективную вязкость парогазового потока, проявляющуюся в их аэродинамическом сопротивлении, что важно для течений с противотоком. Также введем поправки на влияние концентрации капель жидкости на их тепло- и массообмен с помощью известных в литературе зависимостей.

Уравнения модели имеют следующий вид:

– уравнение движения капли жидкости среднемассового размера диаметра δ_k с учетом переменности ее массы за счет процессов испарения–конденсации

$$d\vec{V}_k/d\tau = \vec{g} + \vec{R} - (\vec{V}_k/m_k)(dm_k/d\tau), \quad (1)$$

где τ — время, \vec{V}_k — вектор скорости капли, \vec{g} — вектор ускорения силы тяжести, \vec{R} — вектор силы сопротивления капли, приходящейся на единицу ее массы, m_k — масса капли,

– уравнение неразрывности для жидкости

$$\partial\rho_k/\partial\tau + \nabla(\rho_k\vec{V}_k) = (\rho_k/m_k)(dm_k/d\tau), \quad (2)$$

где ρ_k — некоторая по объему плотность капель (массовая концентрация жидкости),

– уравнение массообмена капли жидкости с потоком парогазовой смеси за счет испарения–конденсации

$$dm_k/d\tau = -\beta\pi\delta_k^2(\rho_{1k} - \rho_1), \quad (3)$$

где β — коэффициент массообмена капли с потоком по концентрационному напору пара, ρ_{1k} и ρ_1 — парциальные плотности пара на поверхности капли и в потоке,

– уравнение для влагосодержания

$$dd/d\tau = -(\rho_k/m_k)(dm_k/d\tau)(1/(1-\varepsilon_k)\rho_2), \quad \varepsilon_k = \rho_k/\rho_{ж}, \quad (4)$$

где d — влагосодержание, ε_k — объемная концентрации капель жидкости, ρ_2 — парциальная плотность сухого газа, $\rho_{ж}$ — плотность жидкости, $\rho_k/m_k = n_k$ — текущая счетная концентрация капель в потоке,

– уравнение теплообмена капли с потоком парогазовой смеси

$$c_{\text{ж}} m_{\text{к}} (d\Theta/d\tau) = -\alpha_{\text{к}} \pi \delta_{\text{к}}^2 (\Theta - T) + r_{\text{ж}} (dm_{\text{к}}/d\tau), \quad (5)$$

где $c_{\text{ж}}$ — удельная теплоемкость жидкости капле, $\alpha_{\text{к}}$ — коэффициент теплоотдачи капли, Θ и T — текущие абсолютные температуры капли и потока, $r_{\text{ж}}$ — удельная теплота испарения–конденсации,

– уравнение для температуры парогазовой смеси

$$\rho (dcT/d\tau) = \alpha_{\text{к}} \pi \delta_{\text{к}}^2 (\Theta - T) (\rho_{\text{к}}/m_{\text{к}}), \quad (6)$$

где c и ρ — удельная теплоемкость и плотность парогазовой смеси,

– уравнение для скорости парогазовой смеси вдоль оси форсуночной камеры для невысоких концентраций капле жидкости в потоке примем в форме [1]

$$U = U_0 \frac{T}{T_{00}} \frac{K + d}{K + d_0}, \quad (7)$$

где $K = M_1/M_2$, M_1 и M_2 — молекулярные массы пара и сухого газа, для высоких концентраций капле в потоке

$$U = U_0 \frac{T}{T_{00}} \frac{K + d}{K + d_0} \frac{1 - q(U_0/V_{\text{к0}})}{1 - q(U_0/V_{\text{кx}})}, \quad (8)$$

где $V_{\text{кx}}$ — текущая составляющая скорости капле вдоль оси камеры.

В уравнении (1) \bar{R} — сила аэродинамического сопротивления, действующая на каплю со стороны парогазового потока и приходящаяся на единицу ее массы, определяется формулой

$$\bar{R} = -\tilde{\xi} \left((\vec{V}_{\text{к}} - \vec{U}) / \tau_{\text{к}} \right), \quad (9)$$

где $\tilde{\xi} = \xi/\xi_{\text{с}}$ — относительный коэффициент сопротивления капле, ξ — действительный коэффициент сопротивления капле, $\xi_{\text{с}}$ — стоксовский коэффициент сопротивления капле в виде

$$\xi_{\text{с}} = 24/\text{Re}_{\text{к}}, \quad (10)$$

где $\text{Re}_{\text{к}}$ — число Рейнольдса обтекания капле

$$\text{Re}_{\text{к}} = \left(|\vec{V}_{\text{к}} - \vec{U}| \delta_{\text{к}} \rho \right) / \mu, \quad (11)$$

где \vec{U} — вектор скорости парогазового потока, $\tau_{\text{к}}$ — время динамической релаксации капле

$$\tau_{\text{к}} = \rho_{\text{ж}} \delta_{\text{к}}^2 / 18\mu, \quad (12)$$

$\delta_{\text{к}}$ — диаметр капле, μ — динамическая вязкость парогазовой смеси, ρ — плотность парогазовой смеси. Величины $\rho_{1\text{к}}$ и ρ_1 вычисляются по уравнениям состояния:

$$\rho_{1\text{к}} = M_1 P_{1\text{к}} / R\Theta, \quad (13)$$

$$\rho_1 = M_1 P_1 / RT, \quad (14)$$

где $P_{1к}$ и P_1 — парциальные давления насыщенных паров жидкости при температуре Θ и ненасыщенных паров жидкости вдали от капли при температуре T , $R = 8,314 \cdot 10^3$ кДж/кмоль К — универсальная газовая постоянная, ρ_2 — плотность сухого газа в смеси

$$\rho_2 = (B - P_1)M_2/RT, \quad (15)$$

где B — барометрическое давление для парогазовой смеси

$$B = P_1 + P_2, \quad (16)$$

здесь P_2 — парциальное давление сухого газа в смеси, $c \approx c_2 + c_1d$ — теплоемкость парогазовой смеси при малых значениях влагосодержания d , в общем случае $c\rho = c_1\rho_1 + c_2\rho_2$, откуда

$$c = (c_1d + c_2)/(1 + d),$$

где c_1 — теплоемкость пара, c_2 — теплоемкость сухого газа, ρ — плотность парогазовой смеси

$$\rho = \rho_1 + \rho_2. \quad (17)$$

Индекс 0 соответствует параметрам на входе в оросительную камеру ($V_{к0}$, U_0 , T_{00} , d_0), $T_{00} = t_0 + T_0$, t_0 — температура парогазовой смеси на входе в камеру, °С, $T_0 = 273$ К.

В уравнении (3) коэффициент массообмена β определяется из полуэмпирической зависимости для массообменного числа Нуссельта

$$\text{Nu}' = \frac{\beta\delta_k}{D} = 2K_c\Phi. \quad (18)$$

Здесь K_c — поправка на стефановский поток при высоких концентрациях пара в смеси — высоких влагосодержаниях d ,

$$K_c = 1 + ((P_{1к} + P_1)/2B), \quad (19)$$

Φ — поправка Фросслинга на инерционность обтекания капли жидкости [11, 13]

$$\Phi = 1 + 0,276\text{Re}_k^{0,5}\text{Sc}^{0,33}, \quad (20)$$

D — коэффициент диффузии паров, Sc — число Шмидта

$$\text{Sc} = \mu/\rho D. \quad (21)$$

Коэффициент теплоотдачи α_k определяется из формулы Дрейка для теплообменного числа Нуссельта:

$$\text{Nu} = 2 + \text{Re}_k^{0,55}\text{Pr}^{0,33}, \quad (22)$$

где Pr — теплообменное число Прандтля

$$\text{Pr} = \mu c/\lambda, \quad (23)$$

где λ — коэффициент теплопроводности парогазовой смеси.

Коэффициент сопротивления капель будем определять по формулам: по рекомендациям [4] для деформированных капель

$$\tilde{\xi} = 0,0152\text{Re}_k + 1,08\text{Re}_k^{0,2}, \quad (24)$$

и по обобщающей Геттингенской опытной кривой для сферической твердой частицы в широком диапазоне чисел $Re_k < 3 \cdot 10^5$ [12]

$$\tilde{\xi} = 1 + 0,197 Re_k^{0,63} + 2,6 \cdot 10^{-4} Re_k^{1,38}. \quad (25)$$

В уравнении (2) правое слагаемое представляет собой убывание массы жидкости в локальной точке пространства за счет испарения каплей ($dm_k/d\tau < 0$) на величину $n_k(dm_k/d\tau)$, либо прибавление ее массы за счет конденсации паров на такую же величину ($dm_k/d\tau > 0$). Эти процессы в свою очередь определяют изменение влагосодержания в парогазовой смеси в той же точке, но с противоположным знаком, что описывается уравнением (4).

Уравнение (5) выражает изменение энтальпии капли в единицу времени — левое слагаемое равенства, за счет конвективного теплообмена с парогазовым потоком — первое слагаемое справа, и притока при конденсации или оттока при испарении тепла к капле жидкости вследствие фазовых переходов на ее поверхности — второе слагаемое справа.

Уравнение (6) определяет изменение энтальпии парогазового потока в единицу времени за счет конвективного теплообмена с каплями жидкости количеством n_k в единице объема.

Уравнение для скорости парогазового потока вдоль оси камеры (7) правомерно принять в одномерной постановке. Оно легко получается из уравнений неразрывности для компонентов парогазовой смеси и их уравнений состояний. Так, для чистого газа в стационарном случае в одномерной постановке при $\varepsilon_k \ll 1$

$$\nabla(\rho_2 U) = d(\rho_2 U)/dx, \quad (26)$$

откуда следует $\rho_2 U = \text{const} = \rho_2(T_{00})U_0$. Так что

$$U/U_0 = \rho_2(T_{00})/\rho_2(T). \quad (27)$$

Используя уравнение состояния для газа (15), получим

$$\begin{aligned} \frac{\rho_2(T_{00})}{\rho_2(T)} &= \frac{P_2(T_{00})M_2/RT_{00}}{P_2(T)M_2/RT} = \frac{T}{T_{00}} \frac{P_2(T_{00})}{P_2(T)} = \frac{T}{T_{00}} \frac{B - P_1(T_{00})}{B - P_1(T)} = \\ &= \frac{T}{T_{00}} \frac{K(P_1(T_{00})/d_0)}{K(P(T)/d)} = \frac{T}{T_{00}} \frac{d}{d_0} \frac{B(d_0/(K + d_0))}{B(d/(K + d))} = \frac{T}{T_{00}} \frac{K + d}{K + d_0}, \end{aligned} \quad (28)$$

что представлено формулой (7).

Для одномерного стационарного случая уравнение неразрывности для жидкости также превращается в простую аналитическую формулу. Действительно, из (2) имеем

$$\frac{d(\rho_k V_{\text{кк}})}{dx} = \frac{\rho_k}{m_k} \frac{dm_k}{dx} V_{\text{кк}}, \quad \frac{d(\ln \rho_k V_{\text{кк}})}{dx} = \frac{d \ln m_k}{dx},$$

или

$$\rho_k V_{\text{кк}} = C_0 m_k. \quad (29)$$

Постоянная C_0 определяется из граничного условия на входе в оросительную камеру при $x = 0$, $\rho_k = \rho_{k0}$, $V_{кx} = V_{к0}$, $m_k = m_{k0}$. Так что $C_0 = \rho_{k0} (V_{к0}/m_{k0})$ и, следовательно,

$$\rho_k = \rho_{k0} \frac{V_{к0}}{V_{кx}} \frac{m_k}{m_{k0}} = \rho_{k0} \frac{V_{к0}}{V_{кx}} \bar{\delta}_k^3, \quad \bar{\delta}_k = \left(\frac{\delta_k}{\delta_{к0}} \right). \quad (30)$$

Учитывая, что $n_k = \rho_k/m_k$, перепишем соотношение (30) через счетные концентрации капель

$$n_k = n_{к0} (V_{к0}/V_{кx}). \quad (31)$$

Концентрация n_k определяется как

$$n_k = \frac{Q_{ж}}{V_{кx} (\pi \delta_k^3 / 6) S} = \frac{Q_{ж}}{Q_{пг}} \frac{Q_{пг}}{V_{кx} (\pi \delta_k^3 / 6) S} = 6q \frac{U_0}{V_{кx}} \frac{1}{\pi \delta_k^3}, \quad (32)$$

где S — поперечное сечение по направлению к потоку оросительной камеры.

Из уравнения (32) следует граничное условие для некоторой плотности жидкости на входе в камеру:

$$\rho_{к0} = n_{к0} m_{к0} = 6q (U_0/V_{к0}) (m_{к0}/\pi \delta_{к0}^3) = q \rho_{ж} (U_0/V_{к0}). \quad (33)$$

Таким образом, для одномерного стационарного случая

$$\rho_k = \rho_{к0} (V_{к0}/V_{кx}) \bar{\delta}_k^3. \quad (34)$$

В работе [1] для расчета парциальных давлений насыщенных водяных паров применялась формула, которую будем использовать и в настоящей работе,

$$P_{1к} = P_{кр} \exp \left(A \ln \left(\Theta_n / T_{кр} \right) + A_0 f_1 \right), \text{ Па}, \quad (35)$$

где $P_{кр} = 221,29 \cdot 10^5$ Па, $t_{кр} = 374,1$ °С, $A = 7,5480$, $A_0 = 2,7870$,

$$f_1 = \frac{4 \left(\left(\Theta_n / T_{кр} \right) - 1 \right)}{\Theta_n / T_{кр}} + f - 5,3 \ln \frac{\Theta_n}{T_{кр}}, \quad f = \left(\left(\Theta_n / T_{кр} \right) - 1 \right) \left[\frac{\left(\left(\Theta_n / T_{кр} \right) + 1 \right)^2}{5} + 0,5 \right].$$

Эта формула описывает опытные данные [1] с точностью не ниже 1 % в широком диапазоне температур [14].

Коэффициенты динамической вязкости и теплопроводности для парогазового потока вычисляются на основе аппроксимаций Уилки (A. Wilkie) [3]:

$$\mu = \frac{\rho_1 \mu_1}{\rho_1 + \rho_2 \Phi_{12}} + \frac{\rho_2 \mu_2}{\rho_2 + \rho_1 \Phi_{21}}, \quad \lambda = \frac{\rho_1 \lambda_1}{\rho_1 + \rho_2 A_{12}} + \frac{\rho_2 \lambda_2}{\rho_2 + \rho_1 A_{21}}, \quad (36)$$

где

$$\Phi_{12} = \frac{\left[1 + \sqrt{\mu_1/\mu_2} (M_2/M_1)^{1/4}\right]^2}{\left[8(1+(M_1/M_2))\right]^{1/2}}, \quad \Phi_{21} = \frac{\mu_2}{\mu_1} \frac{M_1}{M_2} \Phi_{12},$$

$$A_{12} = \frac{\left[1 + \sqrt{\mu_1/\mu_2} (M_1/M_2)^{3/4}\right]^2}{\left[8(1+(M_1/M_2))\right]^{1/2}}, \quad A_{21} = \frac{\left[1 + \sqrt{\mu_2/\mu_1} (M_2/M_1)^{3/4}\right]^2}{\left[8(1+(M_2/M_1))\right]^{1/2}}.$$

В соотношениях (36) μ_1 и μ_2 , λ_1 и λ_2 — динамические вязкости компонентов смеси, которые могут быть определены по формуле Сатерленда (Sutherland W.)

$$\frac{\mu_i}{\mu_{i0}} = \frac{\lambda_i}{\lambda_{i0}} = \frac{T_0 + c_i}{T + c_i} \left(\frac{T}{T_0}\right)^{3/2}, \quad i = 1, 2, \quad (37)$$

где при $T = 273$ К, $B = 101325$ Па для водяного пара: $c_1 = 961$, $\mu_{01} = 10,0 \cdot 10^{-6}$ Па·с, $\lambda_{01} = 1,805 \cdot 10^{-2}$ Вт/м·К, $M_1 = 18$ кг/кмоль; для воздуха: $c_2 = 124$, $\mu_{02} = 17,3 \cdot 10^{-6}$ Па·с, $\lambda_{02} = 2,44 \cdot 10^{-2}$ Вт/м·К, $M_2 = 29$ кг/кмоль.

Решение поставленной задачи целесообразно выполнять в стационарной постановке

$$\frac{d_i(\dots)}{d\tau} = \frac{\partial(\dots)}{\partial\tau} + \vec{V}_i \nabla(\dots) = \vec{V}_i \nabla(\dots), \quad (38)$$

где индекс i определяет субстанциональную производную.

Так, при численной реализации модели будем иметь в виду:

$$\frac{dV_{\text{кx}}}{dt} = V_{\text{кx}} \frac{\partial V_{\text{кx}}}{\partial x} + V_{\text{кy}} \frac{\partial V_{\text{кx}}}{\partial y}, \quad \frac{dV_{\text{кy}}}{dt} = V_{\text{кx}} \frac{\partial V_{\text{кy}}}{\partial x} + V_{\text{кy}} \frac{\partial V_{\text{кy}}}{\partial y}, \quad \frac{dd}{dt} = U \frac{\partial d}{\partial x},$$

$$\frac{d\Theta}{dt} = V_{\text{кx}} \frac{\partial \Theta}{\partial x} + V_{\text{кy}} \frac{\partial \Theta}{\partial y}, \quad \frac{dT}{dt} = U \frac{\partial T}{\partial x}, \quad \nabla(\rho_{\text{к}} \vec{V}_{\text{к}}) = \frac{\partial \rho_{\text{к}} V_{\text{кx}}}{\partial x} + \frac{\partial \rho_{\text{к}} V_{\text{кy}}}{\partial y},$$

$$\frac{d\delta_{\text{к}}^2}{dt} = V_{\text{кx}} \frac{\partial \delta_{\text{к}}^2}{\partial x} + V_{\text{кy}} \frac{\partial \delta_{\text{к}}^2}{\partial y}.$$

Последнее соотношение необходимо для расчета размеров капель из уравнения (3):

$$\frac{dm_{\text{к}}}{d\tau} = \frac{d\left(\left(\pi\delta_{\text{к}}^3/6\right)\rho_{\text{ж}}\right)}{d\tau} = -\beta\pi\delta_{\text{к}}^2(\rho_{1\text{к}} - \rho_1). \quad (39)$$

После преобразований уравнения (39) получим

$$\frac{d\delta_{\text{к}}^2}{d\tau} = -\frac{2}{3} \frac{\text{Nu}'D}{\rho_{\text{ж}}} (\rho_{1\text{к}} - \rho_1), \quad (40)$$

где коэффициент диффузии для паров воды в воздухе вычисляется по следующей формуле:

$$D = D_0 (B_0/B) \left((T/T_0)\right)^{1,8}, \quad D_0 = 21,6 \cdot 10^{-6} \text{ м}^2/\text{с} \quad (41)$$

при $B = B_0 = 101325$ Па, $T_0 = 273$ К.

В стационарной постановке дифференциальные уравнения модели должны решаться при следующих граничных условиях:

для прямого тока (схема рис. 1, а) при $x = 0$

$$\begin{aligned} V_{кx} = V_{к0}, \quad V_{ky} = 0, \quad U = U_0, \quad \delta_k = \delta_{к0}, \quad m_k = m_{к0}, \\ d = d_0, \quad \Theta = \Theta_0, \quad T = T_{00}, \quad \rho_k = \rho_{к0}, \end{aligned} \quad (42)$$

для противотока (схема рис. 1, б)

$$\begin{aligned} \text{при } x = 0 \quad V_{кx} = V_{к0}, \quad V_{ky} = 0, \quad \delta_k = \delta_{к0}, \quad \Theta = \Theta_0, \quad \rho_k = \rho_{к0}, \\ \text{при } x = 1 \quad U = U_0, \quad d = d_0, \quad T = T_{00}. \end{aligned} \quad (43)$$

Для учета стесненности движения капель при их повышенной концентрации введем поправку на эффективную вязкость μ_ε , предложенную в работе [15]:

$$\mu_\varepsilon / \mu = \left(1 - (\varepsilon_k / \varepsilon_{\max})\right)^{-2,5 \varepsilon_{\max} \frac{\mu_k + 0,4\mu}{\mu_k + \mu}}, \quad (44)$$

где ε_{\max} — максимально возможная объемная концентрация капель без учета их слияния, равная примерно 0,62. Поскольку $\mu_k \gg \mu$, то из уравнения (44) получим следующее соотношение:

$$\mu_\varepsilon / \mu = (1 - 1,613 \varepsilon_k)^{-1,55}. \quad (45)$$

При этом в коэффициент сопротивления капель вводится поправка по тем же зависимостям (24), (25) через число $Re_{к\varepsilon}$:

$$\tilde{\xi}_\varepsilon = f(Re_{к\varepsilon}), \quad Re_{к\varepsilon} = \frac{|\vec{V}_k - \vec{U}| \delta_k \rho}{\mu_\varepsilon}, \quad (46)$$

а в число Нуссельта теплообмена Nu множитель $(1 - 10 \varepsilon_k^{0,5})$ из работы [16], для $\varepsilon_k < 3 \cdot 10^{-3}$. Для числа Нуссельта массообмена Nu' можно ввести такую же поправку, учитывая аналогию процессов теплообмена и массообмена.

Для высоких концентраций капель жидкости надо исходить из уравнения неразрывности вида

$$\nabla \left((1 - \varepsilon_k) \rho_2 \vec{U} \right) = d \varepsilon \rho_2 U / dx = 0, \quad (47)$$

где $\varepsilon_k + \varepsilon = 1$. Так что из уравнения (47) следует

$$\varepsilon \rho_2 U = \text{const} = \varepsilon_0 \rho_2 (T_{00}) U_0. \quad (48)$$

Учитывая, что $1 - \varepsilon = n_k \pi \delta_k^3 / 6$, можем записать

$$\frac{U_0}{U_0} = \frac{\varepsilon_0 \rho_2 (T_{00})}{\varepsilon \rho_2 (T)} = \frac{1 - n_{к0} (\pi \delta_{к0}^3 / 6)}{1 - n_k (\pi \delta_k^3 / 6)} \frac{\rho_2 (T_{00})}{\rho_2 (T)} = \frac{1 - q(U_0 / V_{к0})}{1 - q(U_0 / V_{кx})} \frac{\rho_2 (T_{00})}{\rho_2 (T)}. \quad (49)$$

Для прямотока, поскольку $U_0 < V_{к0}$, $q \leq 10 \text{ л/м}^3 = 10^{-2} \text{ м}^3/\text{м}^3$, для большинства практических случаев можно принять

$$\frac{U}{U_0} \approx \frac{\rho_2(T_{00})}{\rho_2(T)} = \frac{T}{T_{00}} \frac{K+d}{K+d_0}. \quad (50)$$

Для противотока скорости капель жидкости могут сильно притормаживаться, и тогда будем иметь $U_0/V_{кк} \gg 1$. В этом случае скорость парогазового потока будет резко возрастать. Критическое сечение определяется равенством нулю знаменателя выражения (49), откуда $V_{кк,кр} = qU_0$. Так, для $q = 10^{-2} \text{ м}^3/\text{м}^3$, $U_0 = 1 \text{ м/с}$ — $V_{кк,кр} = 10^{-2} \text{ м/с}$.

Для плотности жидкости ρ_k в области критического сечения в соответствии с уравнением (34) будем иметь ее резкое возрастание и, следовательно, возрастание счетной концентрации капель.

На рис. 2 представлено распределение параметров потока в камере орошения по ее высоте в трех сечениях: на входе (сплошная линия), в середине (пунктирная кривая) и на выходе (штрих-пунктирная кривая). Из рис. 2, *a* видно, что значительная часть капель отходит от верхней плоскости камеры, формируя тем самым выраженную двумерность. На рис. 2, *b* видно, что на кривой температуры капель, соответствующей выходу, теория и опыт удовлетворительно согласуются между собой. Опытное значение температуры капель на выходе $\Theta_{оп} = 281,7 \text{ К}$ [4]. На рис. 2, *c* на выходе имеется большее различие между расчетом и экспериментом ($T_{оп} = 290,2 \text{ К}$), что объясняется тем, что точка измерения температуры парогазового потока располагалась далеко за сепараторами и даже за вентилятором, в то время

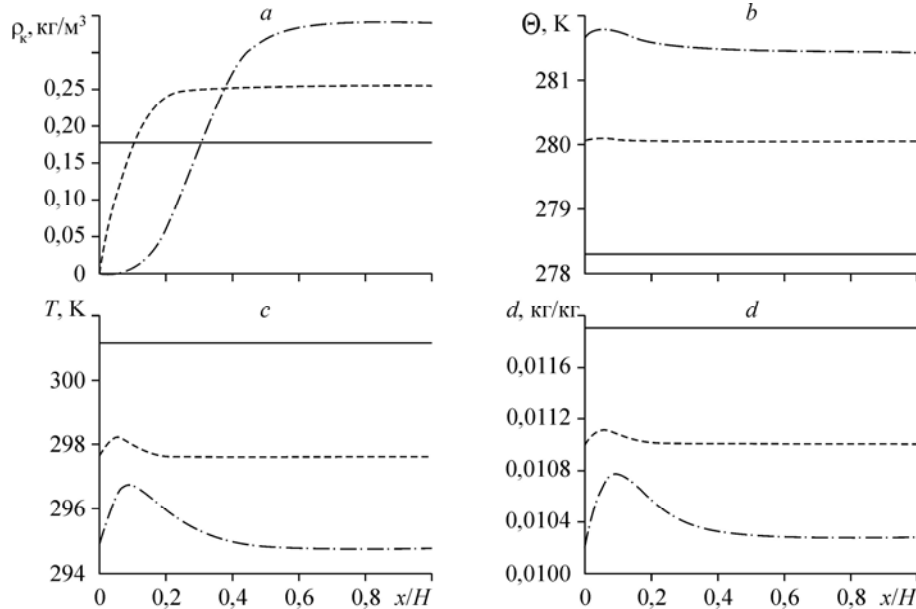


Рис. 2. Распределение параметров потока в камере орошения.

a — массовая концентрация капель жидкости, *b* — температура капель, *c* — температура парогазовой смеси, *d* — влагосодержание. Расчет проводился при следующих исходных данных для прямотока [4]: $l = 1,39 \text{ м}$, $h = 0,3 \text{ м}$, $V_{к0} = 12,5 \text{ м/с}$, $\delta_{к0} = 600 \text{ мкм}$, $d_0 = 0,01193 \text{ кг/кг}$ сух. возд., $q = 0,75 \cdot 10^{-3} \text{ м}^3/\text{м}^3$, $\Theta_0 = 278,2 \text{ К}$, $T_{00} = 301,2 \text{ К}$, $U_0 = 3 \text{ м/с}$.

как температура капель определялась по температуре воды в поддоне. Тем не менее различие расчетной и экспериментальной температур парогазового потока лежит в пределах погрешности опыта, определенной авторами работы [4], в 7 процентов. Из рис. 2, d следует, что на выходе из камеры орошения влагосодержание имеет заметное распределение по высоте, и тем не менее близко к экспериментальному значению $d = 0,00982$ кг/кг сух. возд. [4], что свидетельствует о работоспособности модели.

Поскольку невозможно представить полную иллюстрацию двумерной физико-математической модели движения и тепломассообмена парогазовой смеси с каплями жидкости переменной массы в оросительных форсуночных камерах при высоких влагосодержаниях, которая была бы чрезвычайно объемна, приведем основные результаты ее анализа в виде следующих выводов:

1. При невысоких влагосодержаниях, характерных для вентиляционных режимов оросительных камер кондиционеров воздуха, при типичных начальных скоростях капель 12–20 м/с вполне допустимо пользоваться одномерной моделью;

2. Учет переменной массы капель жидкости в уравнениях их движения влияния на теплофизические параметры потока практически не оказывает;

3. Учет влияния деформированности капель жидкости на закон сопротивления приводит к изменению их скоростей, но теплофизические параметры потока практически не меняются;

4. Для системы капли воды–воздух учет реальных коэффициентов переноса динамической вязкости и теплопроводности для парогазового потока дает практически тот же результат, что и расчет с этими коэффициентами для сухого воздуха. То же самое имеет место и для других систем, например, капли воды–крекинг-газы. При этом поведение термодинамических параметров для разных систем существенно различаются как количественно, так и качественно;

5. При повышенных влагосодержаниях и невысоких начальных скоростях капель жидкости одномерная и двумерная модели для горизонтальных камер дают существенно различные результаты;

6. Предложенная модель тепломассообмена оправдывает себя не только удовлетворительным согласованием результатов расчетов с экспериментальными данными для камер орошения кондиционеров воздуха, но и использованием ее в модели конденсационного пылеулавливания, дающей хорошее согласование с экспериментом [17].

СПИСОК ЛИТЕРАТУРЫ

1. Шляев М.И., Хромова Е.М. Моделирование процесса тепломассообмена в оросительных камерах // Теоретические основы химической технологии. 2008. Т. 42. № 4. С. 419–428.
2. Нигматулин Р.И. Динамика многофазных сред. Ч. I. М.: Наука, 1987. 464 с.
3. Рид Р., Праусниц Дж., Шервуд Т. Свойства газов и жидкостей / Пер. с англ. Л.: Химия, 1982. 592 с.
4. Тарабанов М.Г., Видин Ю.В., Бойков Г.П. Тепломассоперенос в камерах орошения кондиционеров с форсунками распыления. Красноярск: Крас. ПИ, 1974. 210 с.
5. Богословский В.Н., Поз М.Я. Теплофизика аппаратов утилизации тепла систем отопления, вентиляции и кондиционирования воздуха. М.: Стройиздат, 1983. 320 с.
6. Амелин А.Г. Теоретические основы образования тумана при конденсации пара. М.: Химия, 1966. 294 с.
7. Ужов В.Н., Вальдберг А.Ю. Очистка газов мокрыми фильтрами. М.: Химия, 1972. 247 с.

8. Бубенчиков А.М., Старченко А.В. Численные модели динамики и горения аэродисперсных смесей в каналах. Томск: Изд-во ТГУ, 1988. 236 с.
9. Устименко Б.П., Джакупов К.Б., Кроль В.О. Численное моделирование аэродинамики и горения в топочных и технологических устройствах. Алма-Ата: Наука, 1986. 224 с.
10. Раушенбах Б.В., Белый С.А, Беспалов И.В., Бородачев В.Я., Вольнский М.С., Прудников А.Г. Физические основы рабочего процесса в камерах сгорания воздушно-реактивных двигателей. М.: Машиностроение, 1964. 524 с.
11. Пажи Д.Г., Галустов В.С. Основы техники распыливания жидкостей. М.: Химия, 1984. 254 с.
12. Шляев М.И., Шляев А.М. Аэродинамика и тепломассообмен газодисперсных потоков. Томск: ТГАСУ, 2003. 272 с.
13. Защита атмосферы от промышленных загрязнений. Справочное издание. Ч. 1: Пер. с англ./ Под ред. С. Калверта, П.М. Инглунда М.: Металлургия, 1988. 760 с.
14. Тумашова А.В. К расчету коэффициентов переноса и парциальных давлений насыщенных паров парогазовых смесей // Вестник ТГАСУ. 2009. № 1. С. 147–152.
15. Броунштейн Б.И., Щеголев В.В. Гидродинамика, массо- и теплообмен в колонных аппаратах. Л.: Химия, 1988. 336 с.
16. Шваб В.А. Течение сжимаемой пылегазовой среды в трубах при некоторых тепловых и структурных режимах // ИФЖ. 1986. Т. 16. № 5. С. 826–834.
17. Шляев М.И., Хромова Е.М., Панов Д.Е. Конденсационный механизм улавливания субмикронных частиц в форсуночном скруббере // Материалы VII Межд. конф. «Качество внутреннего воздуха и окружающей среды» 13-17 мая 2009, Волгоград: ВолгГАСУ, 2009. С. 290–295.

*Статья поступила в редакцию 22 июня 2009 г.,
после переработки 15 марта 2010 г.*